

**2º Teste: 19 de Dezembro de 2016 – 18h**

Duração do teste: 1h30

Nota DF: Só serão cotadas as respostas em que há trabalho mostrado.

**I (2 valores)**

Para cada uma das afirmações seguintes diga se são verdadeiras ou falsas. Justifique numa linha a sua resposta, isto é, indique a razão sem fazer contas.

1. Considere um eletrão no estado
- $|\psi_{210}\rangle$
- do átomo de Hidrogénio. Então

$$\langle \psi_{210} | z | \psi_{210} \rangle = 0$$

2. Uma partícula num potencial central está num estado descrito pela expressão

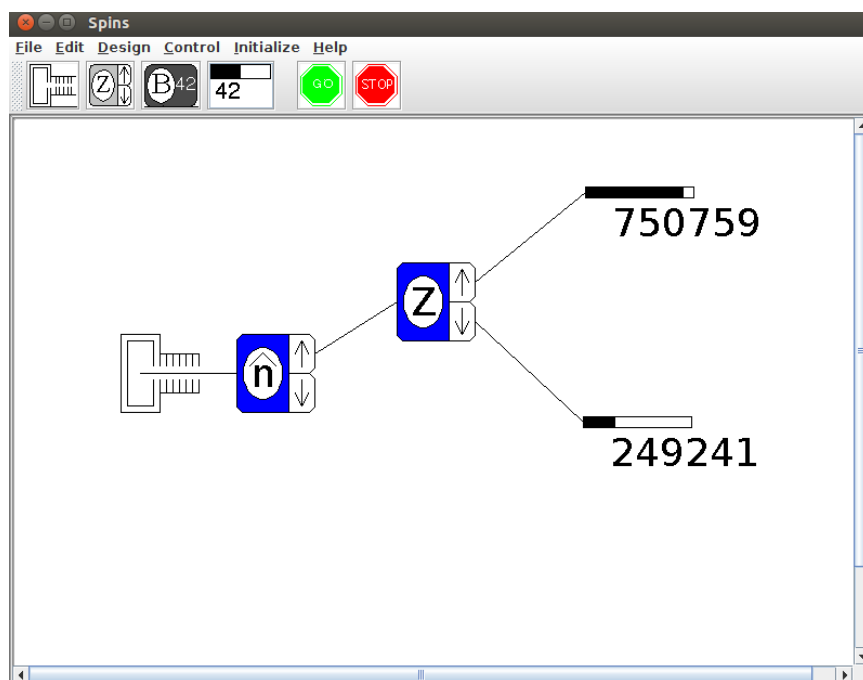
$$\psi(r, \theta, \varphi) = f(r) \cos^2(\theta)$$

A probabilidade duma medida de  $L_z$  dar  $L_z = 0$  é igual a  $\frac{45}{16\pi}$ .

3. Considere a soma de dois momentos angulares
- $\vec{J} = \vec{j}_1 + \vec{j}_2$
- com
- $j_1 = 2$
- e
- $j_2 = \frac{1}{2}$
- . Então o estado com
- $j = \frac{3}{2}, m = -\frac{1}{2}$
- escreve-se, em função dos estados próprios dos dois momentos angulares,

$$| \frac{3}{2}, -\frac{1}{2} \rangle = \sqrt{\frac{3}{5}} | 2, 0 \rangle | \frac{1}{2}, -\frac{1}{2} \rangle - \sqrt{\frac{2}{5}} | 2, -1 \rangle | \frac{1}{2}, +\frac{1}{2} \rangle$$

4. Considere a experiência descrita na Figura seguinte:



Nesta experiência são disparados eletrões dum estado inicial aleatório. Esses eletrões passam primeiro por um analisador de spin segundo a direção  $\vec{n}$ , onde se selecionaram  $10^6$  eletrões com **spin up** nessa direção. Esses eletrões passam de seguida por um analisador de spin segundo o eixo dos  $z$ , obtendo-se as contagens indicadas para **spin up** e **down**. Então a direção  $\vec{n}$  pode corresponder a  $\theta = 60^\circ, \phi = 0$ .

## II (2 valores)

Considere que o estado dum eletrão no átomo de hidrogénio pode ser descrito pela função de onda

$$\psi(\vec{r}) = a \psi_{2,1,1}(r, \theta, \phi) + b \psi_{2,1,-1}(r, \theta, \phi)$$

com  $a, b$  reais e  $a, b > 0$ . As funções de onda  $\psi_{nlm}(r, \theta, \phi)$  são as funções próprias de  $H, L^2, L_z$  no átomo de hidrogénio.

1. Qual o valor médio da energia neste estado? Determine  $a, b$  para que o valor médio de  $L_z$  neste estado, seja  $\frac{1}{2}\hbar$ .
2. Determine o valor médio de  $r$ , neste estado, isto é

$$\langle r \rangle_\psi \equiv \langle \psi(\vec{r}) | r | \psi(\vec{r}) \rangle$$

Se não resolveu a alínea anterior expresse o resultado em termos de  $a$  e  $b$ .

## III (3 valores)

Considere um sistema quântico com dois estados, com um Hamiltoniano  $H_0$  que numa base ortonormalizada,  $|I\rangle$  e  $|II\rangle$ , tem a seguinte representação matricial

$$H_0 = \begin{bmatrix} E & E \\ E & E \end{bmatrix}$$

com  $E > 0$ .

1. Determine os valores próprios,  $E_1$  e  $E_2$  e os estados próprios  $|1\rangle$  e  $|2\rangle$  do Hamiltoniano não perturbado,  $H_0$ . Identifique  $|1\rangle$  com o estado fundamental.
2. Considere agora que é aplicada ao sistema uma perturbação, agora descrita na base,  $|1\rangle, |2\rangle$  por

$$H_1 = \begin{bmatrix} 0 & \Delta \\ \Delta & 0 \end{bmatrix}$$

onde  $\Delta > 0$  e  $\Delta \ll E$ . Calcule as correções de primeira ordem aos níveis de energia do sistema não perturbado.

3. Calcule as correções de 2ª ordem aos dois níveis, usando teoria de perturações.
4. Resolva o problema exatamente para o Hamiltoniano  $H = H_0 + H_1$  e compare com os resultados da alínea anterior, no limite em que  $\Delta \ll E$ . **Nota:** a matriz de representação dum operador depende da base.

## IV (3 valores)

Considere uma partícula de massa  $m$  e carga  $-e < 0$ , com spin  $\frac{1}{2}$  fixa no espaço. Descrevemos o sistema na base em que  $S_z$  é diagonal. A partícula está sujeita num campo magnético  $\vec{B} = B_0 \vec{e}_y$ . O Hamiltoniano do sistema é então

$$H = -\vec{M} \cdot \vec{B} = \frac{e}{m} \vec{S} \cdot \vec{B} \equiv \hbar \omega_0 \sigma_y$$

onde  $\omega_0 = \frac{eB_0}{2m}$ . Sabe-se que no instante  $t = 0$ , o sistema está no estado *up* segundo  $\vec{e}_z$ , isto é,

$$|\psi(0)\rangle = \begin{bmatrix} 1 \\ 0 \end{bmatrix}$$

- Qual a probabilidade duma medida de  $S_x$  dar o valor  $\hbar/2$  em  $t = 0$ ?
- Determine a probabilidade duma medida de  $S_x$  dar  $\hbar/2$  em função do tempo,  $P_{S_x=\frac{\hbar}{2}}(t)$ . Determine o tempo mínimo,  $T$ , ao fim do qual  $P_{S_x=\frac{\hbar}{2}}(T) = 1$ .
- No instante  $t = T$ , o campo magnético é rodado instantaneamente para a direção do eixo dos  $z$ , isto é,  $\vec{B} = B_0 \hat{e}_z$  para  $t > T$ . Ao fim de outro intervalo de tempo  $T$  (isto é, para um tempo total  $\Delta t = 2T$ ), faz-se uma medida de  $S_y$ . Determine a probabilidade dessa medida dar o valor  $\hbar/2$ , isto é  $P_{S_y=\frac{\hbar}{2}}(2T)$ . Comente o resultado.

**Fim do Teste**

---

## Formulário

- Momento Angular e Harmónicas Esféricas**

$$[L_i, L_j] = i\hbar\epsilon_{ijk}L_k, \quad L_{\pm} = L_x \pm iL_y, \quad [L_+, L_-] = 2\hbar L_z, \quad [L_z, L_{\pm}] = \pm\hbar L_{\pm}$$

$$L^2 |l, m\rangle = \hbar^2 l(l+1) |l, m\rangle, \quad L_z |l, m\rangle = \hbar m |l, m\rangle, \quad L_{\pm} |l, m\rangle = \hbar \sqrt{l(l+1) - m(m \pm 1)} |l, m \pm 1\rangle$$

As primeiras harmónicas esféricas são:

$$\begin{aligned} Y_{00} &= \frac{1}{\sqrt{4\pi}} & Y_{11} &= -\sqrt{\frac{3}{8\pi}} e^{i\varphi} \sin \theta \\ Y_{10} &= \sqrt{\frac{3}{4\pi}} \cos \theta & Y_{22} &= \sqrt{\frac{15}{32\pi}} e^{i2\varphi} \sin^2 \theta \\ Y_{21} &= -\sqrt{\frac{15}{8\pi}} e^{i\varphi} \sin \theta \cos \theta & Y_{20} &= \sqrt{\frac{5}{16\pi}} (3 \cos^2 \theta - 1) \end{aligned}$$

com

$$Y_{l,-m} = (-1)^m Y_{lm}^* \quad \text{e} \quad \int d\Omega |Y_{lm}(\theta, \varphi)|^2 = 1$$

- Equação Radial**

Para um potencial esfericamente simétrico a equação radial é

$$\left[ \frac{d^2}{dr^2} + \frac{2}{r} \frac{d}{dr} - \frac{l(l+1)}{r^2} - \frac{2\mu}{\hbar^2} (V(r) - E) \right] R(r) = 0$$

Fazendo a mudança de variável  $u(r) = r R(r)$  temos

$$\left[ \frac{d^2}{dr^2} - \frac{l(l+1)}{r^2} - \frac{2\mu}{\hbar^2} (V(r) - E) \right] u(r) = 0$$

- Átomo de Hidrogénio e Funções Radiais**

A solução geral é

$$\psi_{nlm}(r, \theta, \varphi) = R_{nl}(r) Y_{lm}(\theta, \varphi), \quad \text{com energias} \quad E_n = -\frac{1}{2} mc^2 \alpha^2 \frac{1}{n^2}, \quad \alpha^{-1} = 137.036$$

As primeiras funções radiais são

$$\begin{aligned} R_{10} &= 2 \left( \frac{1}{a_0} \right)^{3/2} e^{-r/a_0} & R_{20} &= 2 \left( \frac{1}{2a_0} \right)^{3/2} \left( 1 - \frac{r}{2a_0} \right) e^{-r/2a_0} \\ R_{21} &= \frac{1}{\sqrt{3}} \left( \frac{1}{2a_0} \right)^{3/2} \frac{r}{a_0} e^{-r/2a_0} & R_{30} &= 2 \left( \frac{1}{3a_0} \right)^{3/2} \left( 1 - \frac{2r}{3a_0} + \frac{2r^2}{27a_0^2} \right) e^{-r/3a_0} \\ R_{31} &= \frac{4\sqrt{2}}{3} \left( \frac{1}{3a_0} \right)^{3/2} \frac{r}{a_0} \left( 1 - \frac{r}{6a_0} \right) e^{-r/3a_0} & R_{32} &= \frac{2\sqrt{2}}{27\sqrt{5}} \left( \frac{1}{3a_0} \right)^{3/2} \left( \frac{r}{a_0} \right)^2 e^{-r/a_0} \end{aligned}$$

Os valores médios de algumas potências de  $r$

$$\begin{aligned}\langle r^k \rangle &\equiv \int_0^\infty dr r^{2+k} R_{nl}^2(r) & \langle r \rangle &= \frac{a_0}{2} [3n^2 - l(l+1)] \\ \langle r^2 \rangle &= \frac{a_0^2 n^2}{2} [5n^2 + 1 - 3l(l+1)] & \left\langle \frac{1}{r} \right\rangle &= \frac{1}{a_0 n^2} \\ \left\langle \frac{1}{r^2} \right\rangle &= \frac{2}{a_0^2 n^3 (2l+1)} & \left\langle \frac{1}{r^3} \right\rangle &= \frac{2}{a_0^3 n^3 l (2l+1) (l+1)}\end{aligned}$$

### • Átomos Hidrogenóides

Para os átomos com  $Z$  protões e um eletrão, basta fazer

$$\alpha \rightarrow Z\alpha, \text{ e portanto } a_0 \rightarrow \frac{1}{Z}a_0, E_n = -\frac{1}{2}mc^2(Z\alpha)^2 \frac{1}{n^2}$$

### • Integrais Oscilador Harmónico e Átomo Hidrogénio

$$\int_0^\infty dx x^{\alpha-1} e^{-x} = \Gamma(\alpha), \quad \int_0^\infty dx x^{2\alpha-1} e^{-x^2} = \frac{1}{2}\Gamma(\alpha), \quad \Gamma(\alpha+1) = \alpha\Gamma(\alpha), \quad \Gamma(1) = 1, \quad \Gamma\left(\frac{1}{2}\right) = \sqrt{\pi}$$

### • Spin 1/2

1. Os sectores próprios do operador  $S_n = \vec{S} \cdot \vec{n}$ , onde,  $\vec{n} = \sin \theta \cos \varphi \vec{e}_x + \sin \theta \sin \varphi \vec{e}_y + \cos \theta \vec{e}_z$ , são

$$\psi(S_n = +\hbar/2) = \begin{pmatrix} \cos \frac{\theta}{2} \\ e^{i\varphi} \sin \frac{\theta}{2} \end{pmatrix} \quad \psi(S_n = -\hbar/2) = \begin{pmatrix} \sin \frac{\theta}{2} \\ -e^{i\varphi} \cos \frac{\theta}{2} \end{pmatrix}$$

2. As matrizes de Pauli são

$$\sigma_x = \begin{pmatrix} 0 & 1 \\ 1 & 0 \end{pmatrix} \quad \sigma_y = \begin{pmatrix} 0 & -i \\ i & 0 \end{pmatrix} \quad \sigma_z = \begin{pmatrix} 1 & 0 \\ 0 & -1 \end{pmatrix}$$

### • Adição de Momento Angular

$$\vec{J} = \vec{J}_1 + \vec{J}_2, \quad J_i^2 |j_i, m_i\rangle = \hbar^2 j_i(j_i+1) |j_i, m_i\rangle, \quad J^2 |j, m_j\rangle = \hbar^2 j(j+1) |j, m_j\rangle, \quad J_z |j, m_j\rangle = \hbar m_j |j, m_j\rangle$$

1. Os valores possíveis para  $j$  são

$$j_1 + j_2, j_1 + j_2 - 1, \dots, |j_1 - j_2|$$

2. Qualquer estado  $|j, m_j\rangle$  se pode exprimir como uma combinação linear dos produtos dos estados  $|j_1, m_1\rangle$  e  $|j_2, m_2\rangle$  na seguinte forma

$$|j, m_j\rangle = \sum_{m_j=m_1+m_2} C(j, m_j; j_1, m_1, j_2, m_2) |j_1, m_1\rangle |j_2, m_2\rangle$$

onde  $C(j, m_j; j_1, m_1, j_2, m_2)$  são os coeficientes de Clebsch-Gordon e estão dados na Fig. 1 para os valores mais baixos de  $j_1$  e  $j_2$ .

3. A relação inversa é (os coeficientes de Clebsch-Gordon são reais)

$$|j_1, m_1\rangle |j_2, m_2\rangle = \sum_j C(j, m_j; j_1, m_1, j_2, m_2) |j, m_j\rangle$$

4. Para o átomo de Hidrogénio ( $\vec{J} = \vec{L} + \vec{S}$ )

$$\begin{aligned}\psi_{l+1/2,m_j} &= \sqrt{\frac{l+m_j+1/2}{2l+1}} Y_{l,m_j-1/2} \chi^+ + \sqrt{\frac{l+1/2-m_j}{2l+1}} Y_{l,m_j+1/2} \chi^- \\ \psi_{l-1/2,m_j} &= -\sqrt{\frac{l+1/2-m_j}{2l+1}} Y_{l,m_j-1/2} \chi^+ + \sqrt{\frac{l+m_j+1/2}{2l+1}} Y_{l,m_j+1/2} \chi^-\end{aligned}$$

### • Teoria de Perturbações

No caso não degenerado, para uma perturbação com Hamiltoniano  $H_1$ ,

$$\Delta E_n^{(1)} = \langle \phi_n | H_1 | \phi_n \rangle, \quad \Delta E_n^{(2)} = \sum_{k \neq n} \frac{|\langle \phi_n | H_1 | \phi_k \rangle|^2}{E_n^{(0)} - E_k^{(0)}}, \quad |\psi_n\rangle = |\phi_n\rangle + \sum_{k \neq n} \frac{\langle \phi_k | H_1 | \phi_n \rangle}{E_n^{(0)} - E_k^{(0)}} |\phi_k\rangle$$

### • Constantes Físicas

$$\hbar = 1.05457266(63) \times 10^{-34} \text{ Js}$$

$$e = 1.60217733(49) \times 10^{-19} \text{ C}$$

$$c = 1/\sqrt{\epsilon_0 \mu_0} = 2.99792458 \times 10^8 \text{ m/s}$$

$$\mu_0 = 4\pi \times 10^{-7} \text{ H/m}$$

$$m_e = 9.1093897(54) \times 10^{-31} \text{ kg} = 0.510998918(44) \text{ MeV}$$

$$m_p = 1.6726231(10) \times 10^{-27} \text{ kg} = 938.272029(80) \text{ MeV}$$

$$m_n = 1.6749286(1) \times 10^{-27} \text{ kg} = 939.565360(81) \text{ MeV}$$

$$hc = 1240 \text{ nm.eV}, \quad \hbar c = 197.35 \text{ nm.eV}$$

$$a_0 = 0.5291772108(18) \times 10^{-10} \text{ m}$$

$$\alpha^{-1} = 137.03599911(46)$$

$$\mu_B = \frac{e\hbar}{2m_e} = 5.788 \times 10^{-5} \text{ eV/T}$$

### 35. CLEBSCH-GORDAN COEFFICIENTS, SPHERICAL HARMONICS, AND $d$ FUNCTIONS

Note: A square-root sign is to be understood over every coefficient, e.g., for  $-8/15$  read  $-\sqrt{8/15}$ .

$$1/2 \times 1/2 \begin{matrix} 1 \\ +1 & 1 & 0 \\ +1/2 & +1/2 & 1 \\ +1/2 & -1/2 & 1/2 & 1/2 & 1 \\ -1/2 & +1/2 & 1/2 & -1/2 & -1 \\ -1/2 & -1/2 & 1 \end{matrix}$$

$$Y_1^0 = \sqrt{\frac{3}{4\pi}} \cos \theta$$

$$2 \times 1/2 \begin{matrix} 5/2 \\ +5/2 & 5/2 & 3/2 \\ +2 & +1/2 & 1 \\ +2 & -1/2 & 1/5 & 4/5 \\ +1 & +1/2 & 4/5 & -1/5 \\ +1 & -1/2 & 5/2 & 3/2 \\ 0 & +1/2 & 5/2 & -2/5 \\ 0 & -1/2 & 5/2 & 3/2 \\ -1 & +1/2 & -1/2 & -1/2 \end{matrix}$$

$J$	$J$	...
$M$	$M$	...

$m_1$	$m_2$	
$m_1$	$m_2$	Coefficients
.	.	
.	.	
.	.	

$$1 \times 1/2 \begin{matrix} 3/2 \\ +3/2 & 3/2 & 1/2 \\ +1 & +1/2 & 1 \\ +1 & -1/2 & 1/3 & 2/3 \\ 0 & +1/2 & 2/3 & -1/3 \\ 0 & -1/2 & 2/3 & 1/3 \\ -1 & +1/2 & 1/3 & -2/3 \\ -1 & -1/2 & -3/2 \end{matrix}$$

$$Y_2^0 = \sqrt{\frac{5}{4\pi}} \left( \frac{3}{2} \cos^2 \theta - \frac{1}{2} \right)$$

$$3/2 \times 1/2 \begin{matrix} 2 \\ +3/2 & +1/2 & 1 \\ +2 & +1/2 & 1 \\ +2 & -1/2 & 1/4 & 3/4 \\ +1 & +1/2 & 3/4 & -1/4 \\ +1 & -1/2 & 2/5 & 3/5 \\ 0 & +1/2 & 3/5 & -2/5 \\ 0 & -1/2 & 5/2 & 3/2 \\ -1 & +1/2 & -1/2 & -1/2 \end{matrix}$$

$$2 \times 1 \begin{matrix} 3 \\ +3 & 3 & 2 \\ +2 & +1 & 1 \\ +2 & -1 & 2/3 & 2/3 \\ +1 & +1 & 2/3 & -1/3 \\ +1 & -1 & 1/5 & 1/3 & 3/5 \\ 0 & +1 & 8/15 & 1/6 & -3/10 \\ 0 & -1 & 2/5 & -1/2 & 1/10 \end{matrix}$$

$$Y_2^1 = -\sqrt{\frac{15}{8\pi}} \sin \theta \cos \theta e^{i\phi}$$

$$3/2 \times 1 \begin{matrix} 5/2 \\ +3/2 & +1 \\ +3/2 & +1/2 & 1 \\ +3/2 & -1/2 & 1/4 & 3/4 \\ +1/2 & +1/2 & 3/4 & -1/4 \\ +1/2 & -1/2 & 2/5 & 1/2 \\ +1 & +1 & 2/1 & 1/2 \\ +1 & -1/2 & 1/2 & 1/2 \\ -1 & +1/2 & 1/2 & -1/2 \end{matrix}$$

$$1 \times 1 \begin{matrix} 2 \\ +2 & 2 & 1 \\ +1 & +1 & 1 \\ +1 & 0 & 1/2 & 1/2 \\ 0 & +1 & 1/2 & -1/2 \\ 0 & -1 & 1/6 & 1/2 & 1/3 \\ 0 & 0 & 2/3 & 0 & -1/3 \\ -1 & +1 & 1/6 & -1/2 & 1/3 \end{matrix}$$

$$Y_2^2 = \frac{1}{4} \sqrt{\frac{15}{2\pi}} \sin^2 \theta e^{2i\phi}$$

$$3/2 \times 1/2 \begin{matrix} 2 \\ +3/2 & +1/2 & 1 \\ +3/2 & -1/2 & 1/4 & 3/4 \\ +1/2 & +1/2 & 3/4 & -1/4 \\ +1/2 & -1/2 & 2/5 & 1/2 \\ +1 & +1 & 2/1 & 1/2 \\ +1 & -1/2 & 1/2 & 1/2 \\ -1 & +1/2 & 1/2 & -1/2 \end{matrix}$$

$$Y_\ell^{-m} = (-1)^m Y_\ell^{m*} \begin{matrix} 0 & -1 & 1/2 & 1/2 & 2 \\ -1 & 0 & 1/2 & -1/2 & -2 \\ -1 & -1 & 1 \end{matrix}$$

$$d_\ell^m = \sqrt{\frac{4\pi}{2\ell+1}} Y_\ell^m e^{-im\phi} \begin{matrix} -1 & -1 & 2/3 & 1/3 & 3 \\ -2 & 0 & 1/3 & -2/3 & -3 \\ -2 & -1 & 1 \end{matrix}$$

$$\langle j_1 j_2 m_1 m_2 | j_1 j_2 JM \rangle = (-1)^{J-j_1-j_2} \langle j_2 j_1 m_2 m_1 | j_2 j_1 JM \rangle$$

$$d_{m',m}^j = (-1)^{m-m'} d_{m,m'}^j = d_{-m,-m'}^j$$

$$3/2 \times 3/2 \begin{matrix} 3 \\ +3/2 & +3/2 & 1 \\ +3/2 & +1/2 & 1/2 & 1/2 \\ +3/2 & -1/2 & 1/5 & 1/2 & 3/10 \\ +1/2 & +1/2 & 3/5 & 0 & -2/5 \\ -1/2 & +3/2 & 1/5 & -1/2 & 3/10 \end{matrix}$$

$$d_{0,0}^1 = \cos \theta$$

$$d_{1/2,1/2}^{1/2} = \cos \frac{\theta}{2}$$

$$d_{1,1}^1 = \frac{1 + \cos \theta}{2}$$

$$d_{1/2,-1/2}^{1/2} = -\sin \frac{\theta}{2}$$

$$d_{1,0}^1 = -\frac{\sin \theta}{\sqrt{2}}$$

$$d_{1,-1}^1 = \frac{1 - \cos \theta}{2}$$

$$2 \times 2 \begin{matrix} 4 \\ +4 & 4 & 3 \\ +2 & +2 & 1 \\ +2 & +3 & 3 \\ +2 & +1 & 1/2 & 1/2 \\ +1 & +2 & 1/2 & -1/2 \\ +2 & 0 & 3/14 & 1/2 & 2/7 \\ +1 & +1 & 4/7 & 0 & -3/7 \\ 0 & +2 & 3/14 & -1/2 & 2/7 \end{matrix}$$

$$3/2 \times 1/2 \begin{matrix} 1/2 \\ +3/2 & +1/2 & 1/2 & 1/2 \\ +1 & +1 & 1 & 1 \\ +1 & -1/2 & 1/2 & 1/2 \\ 0 & +1/2 & 1/2 & -1/2 \\ -1 & +3/2 & 1/2 & 1/2 \end{matrix}$$

$$d_{0,0}^{1/2} = \cos \theta$$

$$d_{1/2,1/2}^{1/2} = \cos \frac{\theta}{2}$$

$$d_{1,1}^{1/2} = \frac{1 + \cos \theta}{2}$$

$$d_{1/2,-1/2}^{1/2} = -\sin \frac{\theta}{2}$$

$$d_{1,0}^{1/2} = -\frac{\sin \theta}{\sqrt{2}}$$

$$d_{1,-1}^{1/2} = \frac{1 - \cos \theta}{2}$$

$$d_{0,0}^1 = \frac{1 + \cos \theta}{2}$$

$$d_{3/2,3/2}^{3/2} = \frac{1 + \cos \theta}{2} \cos \frac{\theta}{2}$$

$$d_{3/2,1/2}^{3/2} = -\sqrt{3} \frac{1 + \cos \theta}{2} \sin \frac{\theta}{2}$$

$$d_{2,2}^2 = \left( \frac{1 + \cos \theta}{2} \right)^2$$

$$d_{1/2,1/2}^{1/2} = -\frac{1 + \cos \theta}{2} \sin \theta$$

$$d_{1,1}^1 = \frac{1 + \cos \theta}{2} (2 \cos \theta - 1)$$

$$d_{3/2,-1/2}^{3/2} = \sqrt{3} \frac{1 - \cos \theta}{2} \cos \frac{\theta}{2}$$

$$d_{3/2,-3/2}^{3/2} = -\frac{1 - \cos \theta}{2} \sin \frac{\theta}{2}$$

$$d_{2,0}^2 = \frac{\sqrt{6}}{4} \sin^2 \theta$$

$$d_{1,0}^2 = -\sqrt{\frac{3}{2}} \sin \theta \cos \theta$$

$$d_{2,-2}^2 = \left( \frac{1 - \cos \theta}{2} \right)^2$$

$$d_{1/2,1/2}^{3/2} = \frac{3 \cos \theta - 1}{2} \cos \frac{\theta}{2}$$

$$d_{2,-1}^2 = -\frac{1 - \cos \theta}{2} \sin \theta$$

$$d_{1,0}^2 = -\sqrt{\frac{3}{2}} \sin \theta \cos \theta$$

$$d_{1,-1}^2 = \frac{1 - \cos \theta}{2} (2 \cos \theta + 1)$$

$$d_{0,0}^2 = \left( \frac{3}{2} \cos^2 \theta - \frac{1}{2} \right)$$

**Figure 35.1:** The sign convention is that of Wigner (*Group Theory*, Academic Press, New York, 1959), also used by Condon and Shortley (*The Theory of Atomic Spectra*, Cambridge Univ. Press, New York, 1953), Rose (*Elementary Theory of Angular Momentum*, Wiley, New York, 1957), and Cohen (*Tables of the Clebsch-Gordan Coefficients*, North American Rockwell Science Center, Thousand Oaks, Calif., 1974). The coefficients here have been calculated using computer programs written independently by Cohen and at LBNL.

Figura 1: Coeficientes de Clebsch-Gordon para  $j_i = 1/2, 1, 3/2, 2$ . Fonte: Particle Data Group web page, <http://pdg.lbl.gov/2007/reviews/clebrpp.pdf>